

УДК 534.833.524.2

## РАСЧЕТ НА ПЭВМ ДИНАМИЧЕСКИХ ХАРАКТЕРИСТИК ПНЕВМАТИЧЕСКИХ СИСТЕМ ВИБРОИЗОЛЯЦИИ ДЛЯ ТЕХНОЛОГИЧЕСКОГО ОБОРУДОВАНИЯ

Б.С. САЖИН, О.С. КОЧЕТОВ, А.В. ШЕСТЕРНИНОВ, Т.Д. ХОДАКОВА

(Московский государственный текстильный университет им.А.Н. Косягина,  
Ульяновский государственный технический университет)

Преимуществами пневматических систем виброизоляции технологического оборудования являются: низкая собственная частота колебаний, высокая эффективность виброизоляции и возможность поддержания постоянного уровня оборудования относительно фундамента за счет наличия обратной связи по перемещению.

По результатам исследователей [1...5] выявлено, что при установке текстильного оборудования на пневматические виброизоляторы снижаются динамические нагрузки на перекрытие и в ряде механизмов станка. Так, например, при установке ткацкого станка типа АТПР на пневматические виброизоляторы кроме снижения динамических нагрузок в некоторых механизмах станка уменьшается также и мощность, потребляемая электродвигателем.

(АПВ), представленных в [5], с новым регулятором уровня (рис.1). Введем следующие условные обозначения:  $m$  – расчетная масса, кГс;  $F$  – эффективная площадь чувствительного элемента,  $\text{м}^2$ ;  $V_2$  – объем рабочей камеры,  $\text{м}^3$ ;  $V_4$  – объем дополнительной камеры,  $\text{м}^3$ ;  $d_{1,2}$  – диаметр входного дросселя, м;  $d_{2,3}$  – диаметр выходного дросселя, м;  $d_{2,4}$  – диаметр межкамерного капилляра, м;  $\ell$  – длина межкамерного капилляра, м;  $S_{1,2}$  – эффективный зазор входного дросселя, м;  $S_{2,3}$  – эффективный зазор выходного дросселя, м;  $P_1$  – давление питания, Па;  $P_2$  – давление в рабочей камере, Па;  $P_3$  – давление внешней среды, Па;  $P_4$  – давление в дополнительной камере, Па.

На рис.1 представлена новая схема автоматического регулятора уровня пневмо-виброизолирующей системы (1 – рычаг обратной связи; 2 – втулка; 3 – клапан; 4 – крышка; 5 – корпус; 6 – пружина; 7 – подвод воздуха; 8 – канал подключения к камере виброизолятора; 9,10 – уплотнения; 11 – канал для отвода воздуха; 12 – шарнир), который работает следующим образом.

Механический импульс от виброизолируемого объекта поступает на рычаг 1 обратной связи, который шарнирно связан со втулкой 2. При этом золотник клапана 3 отходит от седла, и через каналы 7 и 8 осуществляется дополнительный подвод воздуха для компенсации давления в рабочей камере, что в свою очередь приводит к стабилизации уровня крышки 4. Уплотнения 9 и 10 предотвращают утечки воздуха

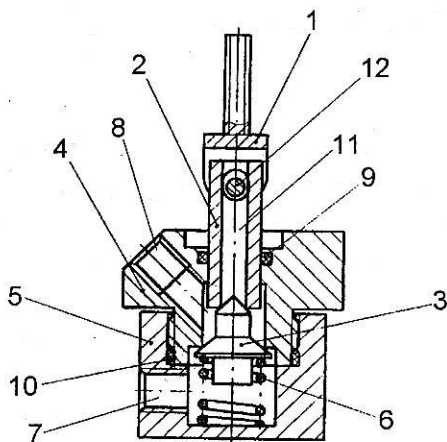


Рис. 1

Рассмотрим расчет типовых схем активных пневматических виброизоляторов

и тем самым повышают уровень стабилизации объекта. Канал 11 служит для отвода воздуха в атмосферу.

Эквивалентные линейные механические модели пневмовиброзоляторов состоят из пассивных механических элементов и генератора. В дальнейшем изложении используются следующие обозначения:  $m$  – амортизируемая масса;  $s$  – переменная преобразования Лапласа;  $k$  – эквивалентная жесткость;  $N$  – отношение объемов демпферной и рабочей камер;  $c$  – коэффициент демпфирования;  $\zeta$  – безразмерный коэффициент демпфирования;  $(X-Y)$  – перемещение обратной связи, создаваемое эквивалентным генератором;  $I_{12}$  – коэффициент усиления обратной связи по расходу;  $\eta = I_{12} / m\omega_n^3$  – безразмерный коэффициент усиления обратной связи;  $\omega_n = \sqrt{k/m}$ .

Переход от пневматической модели к механической осуществлен на основе известных пневмомеханических аналогий. Были предприняты следующие аналогии: давление в пневматической системе – сила

$$\Psi(\omega) = \frac{A_0^2 + (A_1 - 2A_0B_2)\omega^2 + (B_2^2 - 2A_1B_3)\omega^4 + B_3^2\omega^6}{A_0^2 + (A_1^2 - 2A_0A_2)\omega^2 + (A_2^2 + 2A_0A_4 - 2A_1A_3)\omega^4 + (A_3^2 - 2A_2A_4)\omega^6 + A_4^2\omega^8},$$

где  $\omega$  – угловая частота,  $\text{с}^{-1}$ ;

$$\begin{aligned} A_0 &= b_0K + a_0F; A_1 = b_0\delta + b_1K + a_1F; \\ A_2 &= b_0M + b_1\delta + b_2K + a_2F; A_3 = b_1M + b_2\delta; A_4 = b_2M; \\ B_2 &= b_1\delta + b_2K + a_2F; B_3 = b_2\delta; \end{aligned}$$

$a_0, a_1, a_2, b_0, b_1, b_2$  – вспомогательные коэффициенты [3];  $T$  – абсолютная температура,  $^{\circ}\text{К}$ ;  $n$  – показатель политропы;  $t$  – время,  $\text{s}$ ;  $R$  – универсальная газовая постоянная ( $R=29,27 \text{ м}\cdot\text{град}^{-1}$ );  $v$  – динамическая вязкость воздуха ( $v = 1,3 \cdot 10^{-5}$  при  $T = 293 \text{ }^{\circ}\text{К}$ );  $\omega_0$  – собственная частота АПВ,  $\text{с}^{-1}$ ;  $\omega_c$  – частотная граница области виброизоляции,  $\text{с}^{-1}$ ;  $i$  – запас устойчивости АПВ, %;  $\omega_n$  – собственная частота пассивного виброзолятора,  $\text{с}^{-1}$ ;  $q$  – отношение наибольшей нагрузки на АПВ к наименьшей;  $J_{1,3}$  – коэффициент усиления АПВ по

в механической, расход – скорость, емкость камер – податливость, дроссель между камерами – демпфер. Для перевода узлов пневматической схемы в контуры механической системы использовались законы Кирхгофа.

Основные параметры частотных характеристик приближенно выбирались на основе анализа свойств пассивной пневматической системы при отсутствии регулятора положения. Основные частотные характеристики пассивной системы [5] выявлялись с помощью частотных характеристик коэффициента передачи:

$$\Psi_A(\omega) = X_0/Y_0, \quad (1)$$

где  $X_0$  и  $Y_0$  – амплитуды вибрации виброзолируемых массы и основания опоры;  $\omega$  – круговая частота колебаний.

Характеристика коэффициента передачи при виброизоляции  $\Psi(\omega)$  определялась по формуле:

перемещению,  $\text{Н}\cdot\text{м}^{-1}\cdot\text{с}^{-1}$ ;  $J_p$  – коэффициент усиления АПВ по изменению давления,  $\text{м}^2\cdot\text{с}^{-1}$ ;  $J_{2,4}$  – коэффициент сопротивления капилляра,  $\text{м}^2\cdot\text{с}^{-1}$ ;  $K$  – коэффициент жесткости чувствительного элемента АПВ,  $\text{Н}\cdot\text{м}^{-1}$ ;  $\sigma$  – коэффициент внутреннего трения чувствительного элемента АПВ,  $\text{Н}\cdot\text{м}^{-1}\cdot\text{с}$ ;  $\theta$  – расход воздуха через АПВ,  $\text{Н}\cdot\text{с}^{-1}$ ;  $\alpha$  – относительный коэффициент устойчивости;  $N$  – отношение объема дополнительной камеры к объему рабочей камеры АПВ.

Давление  $P_2$  в рабочей камере:

$$P_2 = P_3 + \frac{Mg}{F}. \quad (2)$$

Коэффициент усиления по перемещению  $J_{1,3}$ ,  $\text{Н} \cdot \text{м}^{-1} \cdot \text{с}^{-1}$ :

$$J_{1,3} = \gamma \pi A d_{1,2}. \quad (3)$$

Коэффициент усиления регулятора по изменению давления  $J_o$ ,  $\text{м}^2 \cdot \text{с}^{-1}$ :

$$J_o = \frac{\gamma}{2} (Cd_{1,2}S_{1,2} + Dd_{2,3}S_{2,3}), \quad (4)$$

где С и D – вспомогательные коэффициенты, которые определяют в зависимости от режима истечения воздуха в дросселях.

Затем определяется коэффициент сопротивления капилляра  $J_{2,4}$ :

$$J_{2,4} = \frac{\pi d_{2,4}^4 P_2}{128 \nu l RT} \quad (5)$$

и рассчитываются вспомогательные величины  $N$ ;  $\omega_n$ ;  $J_2$ ;  $\beta$ ;  $\delta$ ;  $\varepsilon$ :

$$N = \frac{V_4}{V_2}, \quad (6)$$

$$\omega_n = \sqrt{\frac{2FgP_2}{V_2(N+2)(P_2 - P_3)} + \frac{2K(N+1)}{M(N+2)}},$$

$$J_2 = \frac{P_2^2 F^3 N^2}{MR^2 T^2 (N+1)^2},$$

$$\beta = \frac{J_{1,3}}{J_{2,4}}, \quad (7)$$

$$\delta = \frac{J_o}{J_{1,3}},$$

$$\varepsilon = \frac{\beta V_2}{P_2 F n},$$

$$\gamma = \pi \sqrt{\frac{2g}{RT}}.$$

После этого определяется запас устойчивости  $i$  для АПВ с  $\delta$  и  $K$ , близкими к нулю (поршневые АПВ):

$$i = (1 - \frac{J_{1,3} J_{2,4}}{J_2 \alpha}) \cdot 100\%, \quad (8)$$

где  $\alpha$  – вспомогательный коэффициент, который в зависимости от типа АПВ находится по формулам:

$$\begin{aligned} \alpha_1 &= 1 + \varepsilon [N(1 + \varepsilon) - 1], \\ \alpha_2 &= 1. \end{aligned} \quad (9)$$

В результате расчета на ПЭВМ характеристик пневматических виброизолятов по предложенной методике были выявлены оптимальные, с точки зрения минимума коэффициента передачи при виброизоляции, параметры пневматического виброизолятатора:

$F = 0,1 \text{ м}^2$ ;  $K = 0$ ;  $V_2 = 4,1 \cdot 10^{-3} \text{ м}^3$ ;  $V_4 = 1,67 \cdot 10^{-2} \text{ м}^3$ ;  $d_{1,2} = 0,5 \cdot 10^{-3} \text{ м}$ ;  $d_{2,3} = 1,25 \cdot 10^{-3} \text{ м}$ ;  $d_{2,4} = 0,15 \cdot 10^{-2} \text{ м}$ ;  $S_{1,2} = 1,0 \cdot 10^{-3} \text{ м}$ ;  $\theta = 0,0019 \text{ Н} \cdot \text{с}^{-1}$ ;  $S_{2,3} = 0,1 \cdot 10^{-3} \text{ м}$ ;  $P_1 = 0,5 \text{ МПа}$ ;  $P_3 = 0,1 \text{ МПа}$ ;  $T = 293 \text{ К}$ ;  $\delta = 0$ ;  $l = 0,015 \text{ м}$ .

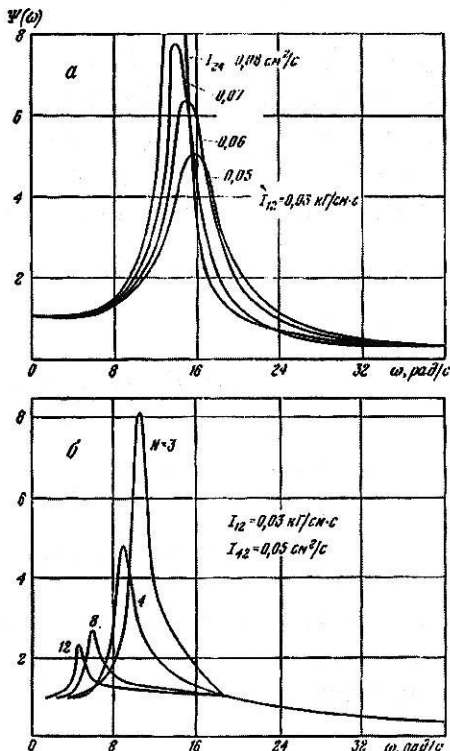


Рис. 2

На рис.2 с помощью графиков представлены результаты расчета коэффициента передачи при данных параметрах (а – схема с регулятором уровня, присоединенным к демпферной камере; б – схема с регулятором уровня, присоединенным к рабочей камере). При установке кружевной машины типа Супер-гарант, MRS-25 на пневматические виброизоляторы в количестве 6 штук [4] было зарегистрировано, что на частоте 25 Гц вибрации перекрытия составили 30 мкм, вместо 120 мкм при существующей установке на металлических башмаках, а на частоте 100 Гц амплитуда колебаний уменьшилась до 1 мкм вместо 8 мкм при существующем способе установки.

Установка кружевной машины на пневматические виброизоляторы позволила снизить уровни вибрации на рабочих местах до санитарно-гигиенических норм [6], тогда как при существующем способе жесткой установки станков наблюдалось превышение нормативных значений вибрации более чем в 4 раза. Кроме того, при установке кружевной машины на пневмо-виброизоляторы шум в цехе снизился с 90 до 86 дБ в среднечастотной области.

## ВЫВОДЫ

1. Выполнен расчет на ПЭВМ активных пневматических виброизоляторов в зависимости от схемы подвода рабочего газа и режимов его истечения в дросселях входных и выходных регулирующих устройств.

2. Результаты экспериментальных исследований подтвердили основные положения расчета. Выявлено, что установка кружевной машины типа Супер-гарант, MRS-25 на пневматические виброизоляторы позволила снизить уровни вибрации на рабочих местах до санитарно-гигиенических норм, тогда как при существующем способе жесткой установки станков наблюдалось превышение нормативных значений вибрации более чем в 4 раза.

## ЛИТЕРАТУРА

1. А.с. №1668773 СССР. Виброизолирующая система Кочетова для ткацких станков. – Опубл. 1991. Бюл. №29.
2. Кельберт Д.Л. Охрана труда в текстильной промышленности. – М.: Легпромбытиздат, 1990.
3. Корнеев Б.И., Мартынов И.А. и др. Влияние пневматических виброизоляторов на некоторые механические и технологические характеристики работы ткацких станков АТПР // В кн.: Легкая промышленность. Р.Ж.12. Сводный том № 1. – М.: ВИНТИ, 1985.
4. Шмаков В.Т., Кочетов О.С., Шестерников А.В. Виброизоляция технологического стационарного оборудования пневматическими опорами // В кн.: Методы и средства виброзащиты человека. – М.: ИМАШ АН СССР, 1977.
5. Синев А.В. и др. // Изв.вузов. Технология текстильной промышленности. – 2004, № 1. С.108...112.
6. ГОСТ 12.1.012–90. ССБТ. Вибрация. Общие требования безопасности. – М.: Госстандарт, 1991.

Рекомендована кафедрой процессов, аппаратов химической технологии и безопасности жизнедеятельности. Поступила 25.04.05.